



Atasu barajı havzasının (Maçka-Trabzon) su kalitesi Water quality of atasu dam basin (Maçka-Trabzon)

Fatma GÜLTEKİN^{1*}, Esra HATIPOGLU TEMİZEL¹

¹Jeoloji Mühendisliği Bölümü, Mühendislik Fakültesi, Karadeniz Teknik Üniversitesi, Trabzon, Türkiye.
fatma@ktu.edu.tr, esrahatioglu@ktu.edu.tr

Geliş Tarihi/Received: 26.09.2023
Kabul Tarihi/Accepted: 19.05.2024

Düzelme Tarihi/Revision: 27.03.2024

doi: 10.5505/pajes.2024.65712
Araştırma Makalesi/Research Article**Öz**

Bu çalışmada Atasu baraj gölü havzasında ulusal ve uluslararası standartlarda önerilen parametrelere göre su kalitesinin belirlenmesi amaçlanmıştır. Bu amaca uygun olarak baraj gölünü besleyen kollarдан ve baraj gölünden iki ay aralıklarla pH, elektriksel iletkenlik (EC), toplam çözünmüş madde miktarı (TDS) ve çözünmüş oksijen (DO) parametreleri yerinde ölçülmüştür. Belirlenen noktalardan alınan örneklerde ana anion ve katyonlar, besin elementleri parametreleri (nitrat, nitrit gibi), inorganik kirlenme ve bakteriyolojik parametreler ile iz metaller analiz edilmiştir. Havzadaki suların pH değerinin 6.60 - 8.78, EC değerinin 42 - 134 $\mu\text{S}/\text{cm}$ arasında olduğu belirlenmiştir. DO değeri yan kollarda su sıcaklığına bağlı olarak mevsimsel değişiklik gösterir. Baraj gölünde 8.11-9.36 mg/L arasında değişir. Havzadaki sular ana anion katyonları bakımından Ca-HCO₃'lu su sınıfındadır. Nitrat değerleri 0.7-12.74 mg/L arasında, nitrit değerleri ise 0.01-0.07 mg/L arasında değişir. Atasu Baraj Gölü havzasında yan kollarдан ve ana akarsudan alınan örneklerin analiz sonuçları Su Kirliliği Kontrol Yönetmeliği (2008)'e göre değerlendirildiğinde suların genel şartlar ve oksijenlendirme parametreleri (DO ve KO₂) açısından I. Sınıf Su Kalitesinde olduğu belirlenmiştir. Besin Elementleri Parametrelerinden NH₄⁺ değerine göre Baraj gölü dışındaki sular I. sınıf, Baraj gölü yaz mevsiminde II. sınıf su tipindedir. NO₂, NO₃⁻ ve toplam fosfor açısından ise II. ve III. sınıf su tipindedir. İz elementlerden Cu ve Ni dışındaki parametreler açısından I. sınıf olduğu belirlenmiştir. İz element kontrasasyonları yağışlı ve kurak döneme farklılık göstermemektedir. Bu farklılıklar birçok elementte yağışlı dönemde azalma eğilimindedir. 95.45 - 96.56 arasında su kalitesi (WQI) değerlerine sahip havzannın her noktasında su kalitesi mükemmel olarak değerlendirilmektedir.

Abstract

In this study, it was aimed to determine the water quality in the Atasu Dam reservoir basin according to the parameters recommended in national and international standards. In accordance with this purpose, pH, electrical conductivity (EC), total dissolved substance (TDS) and dissolved oxygen (DO) parameters were measured in situ at two-month intervals from the branches feeding the dam lake and the dam lake. Main anions and cations, nutrient parameters (such as nitrate, nitrite), inorganic pollution, bacteriological parameters and trace metals were analyzed in the samples taken from the designated points. It has been determined that the pH value of the waters in the basin is between 6.60 and 8.78 and the EC value is between 42 - 134 $\mu\text{S}/\text{cm}$. The DO value varies seasonally depending on the water temperature in the side branches. It varies between 8.11-9.36 mg/L in the dam lake. The waters in the basin are in the water class with Ca-HCO₃ in terms of main anion cations. Nitrate values vary between 0.7-12.74 mg/L, and nitrite values vary between 0.01-0.07 mg/L. When the analysis results of the samples taken from the side branches and the mainstream in the Atasu Dam reservoir basin were evaluated according to the Water Pollution Control Regulation (2008), it was determined that the waters were of Class I Water Quality in terms of general conditions and oxygenation parameters (DO and COD). According to the NH₄⁺ value, one of the Nutrient Element Parameters, the waters outside the dam lake are class I, and the waters of the dam lake are class II in summer. class is water type. In terms of NO₂, NO₃⁻ and total phosphorus, it is in II. and III. class is water type. It was determined that trace elements were class I in terms of parameters other than Cu and Ni. Trace element concentrations vary between rainy and dry periods. These differences tend to decrease during the rainy season for many elements. Water quality is rated as excellent at every point in the basin, with water quality (WQI) values between 95.45 and 96.56.

Keywords: Water Quality, Trace element, Atasu Dam Basin, Trabzon

Anahtar kelimeler: Su kalitesi, İz element, Atasu Barajı Havzası, Trabzon

1 Giriş

Yerüstü ve yeraltısularının kalitesi kullanıcıları ve ekosistem açısından son derece önemlidir. Suyun kalitesini madencilik çalışmaları, yer altı depolama tanklarından kaynaklı sızıntılar, uygunsuz endüstriyel uygulamalar, tarımsal faaliyetler ve çeşitli atıkların yüzey ve yer altına enjeksiyon gibi birçok faktör etkilemektedir. Bu faktörler su toplama havzasında en üst noktadan başlayarak en alt noktaya kadar etkisini gösterebilir. Aritilarak kullanılan yerüstü sularının kalitesinde su toplama havzası içerisindeki tüm faktörlerin etkisi dikkate alınmaktadır.

Yüzey suyu ve yeraltısu kalitesi hem doğal hem de insan kaynaklı faaliyetler nedeniyle uzun süredir bozulmaktadır. Su kalitesini etkileyen doğal faktörler hidrolojik, atmosferik,

iklimsel, topografik ve litolojik faktörlerdir [1],[2] Su kalitesini olumsuz etkileyen antropojenik faaliyetler ise madencilik, hayvancılık, atık üretimi ve bertarafı (endüstriyel, belediye ve tarım), arazi kullanımı değişikliği nedeniyle toprak erozyonu [3] ve ağır metal kirliliği [4],[5] olarak sıralanabilir.

Su kaynaklarında en çok rastlanan kirletici maddeler nitrat, nitrit, amonyak formundaki azot bileşikleri, ağır metaller ve zehirli bileşiklerdir [6]. Ancak kimyasal su kirliliğinin en tehlikeli boyutunu canlı organizmalar için potansiyel birer tehdit olan ağır metal birikimi oluşturur [4]. Sularla sürekli olarak taşınan ağır metaller aşırı derecede seyrelirler ve kısmen karbonat, sülfat, sülür olarak katı bileşik oluşturarak su tabanına çöker ve bu bölgede zenginleşirler. Sediment

*Yazışılan yazar/Corresponding author

tabakasının absorpsiyon kapasitesi sınırlı olduğu için suların ağır metal konsantrasyonu sürekli olarak yükselir.

Su kaynaklarındaki kalite değişimlerini incelemek için pek çok yöntem ve matematiksel model geliştirilmiştir. Bu yöntemlerde yağış, sıcaklık, debi, nitrat, DO ve TDS gibi su kalitesi parametreleri değişken olarak kullanılmaktadır. Uzun süre ölçülmüş kalite ve debi parametreleri uygun analiz ve modelleme yöntemiyle yorumlanarak su kaynaklarının planlanması ve yönetimiinde kullanılmaktadır. Su kalitesinin nicel değerlendirmesi, verimli su kaynakları yönetiminin temel yönlerinden biridir. Su kalitesi sınıflamalarında su kalitesi parametrelerinin hepsiin sınıfın izin verilen sınırları içerisinde bulunması çok nadir karşılaşılan bir durumdur. Çoğu zaman bir su numunesi bir su kalitesi parametresi için bir sınıfa bir başka su kalitesi parametresi için başka bir sınıfa dahil olmaktadır. Su kalitesini her biri birçok parametre içeren çok sayıda örnekten değerlendirmek zordur [7]. Bu durumu biraz olsun kolaylaştırmak için araştırmacılar su kalitesi endeksi (WQI) kavramını geliştirmiştir ve birçok ülkede son birkaç yılın beri kullanılmıştır. WQI'nın hesaplanması, su kalitesinin bir göstergesi olarak tek bir değer üretmek için fiziksel-kimyasal-biyolojik değişkenlerin entegrasyonuna dayanır [8], [9]. Su kalitesini analiz etmek için, bireysel parametrelerin istatistiksel analizleri, çok stresli su kalitesi endeksleri gibi farklı yaklaşımlar göz önünde bulundurulmuştur [10]. WQI modelleri, su kütlesinin kalitesini gösteren tek bir değer, yani su kalitesi indeksi üretmek için zamansal ve mekansal olarak değişen büyük su kalitesi veri kümelerinin analizine izin veren toplama işlevlerine dayanmaktadır. Kullanımları nispeten kolay olduğu ve karmaşık su kalitesi veri setlerini anlaşılmazı kolay tek bir su kalitesi ölçüm değerine dönüştürdükleri için su yönetim/tedarik kurumları için çekicidirler [11]. Belli bir alandaki toplam su kalitesini kısa sürede ve verimli bir şekilde kolayca değerlendirebilen çok sayıda su kalitesi endeksi oluşturulmuştur [12]-[15]. Bu endekslər, su kalitesi parametrelerinin düzenleyici standartlarla karşılaşmasına dayanır ve bir kaynağın su kalitesine tek bir değer verir [13], [16].

Son yıllarda hem yüzey suyu hem de yeraltı suyu kalitesini belirlemeye çok sayıda araştırmacı [17]-[29] su kalitesi indekslerinden yararlanmıştır. Bu çalışmalarla WQI değeri belirlemeye genellikle çözünmüş oksijen (DO), elektriksel iletkenlik (EC), kimyasal oksijen ihtiyacı (KO₂), biyolojik oksijen ihtiyacı (BO₂), nitrat, nitrit, fosfat, toplam sertlik ve turbidite gibi parametreler kullanılmıştır.

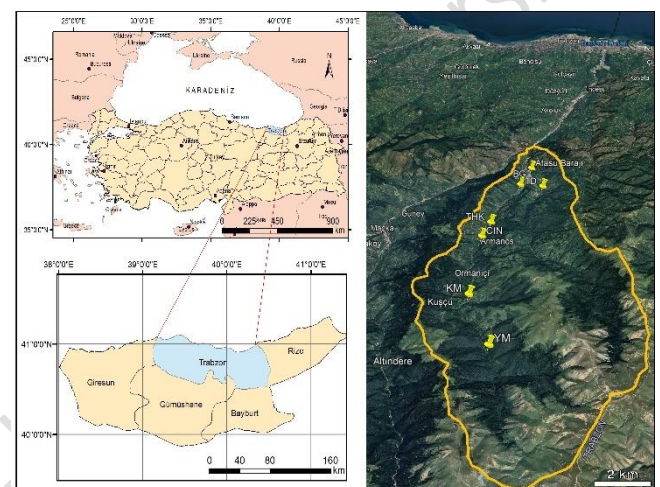
Bu çalışmada Trabzon İli'ne içme-kullanma suyunu sağlayan Atasu Baraj gölü havzasının su kalitesinin belirlenmesi amaçlanmıştır. Havzada su kalitesine yönelik az sayıda çalışma yapılmıştır [30]-[33]. Bu çalışmalarla Haziran 2002 ile Haziran 2003 tarihleri arasında barajı besleyen iki koldan alınan su örneklerinde 17 parametre analiz edilmiş ve bulanıklık, toplam sertlik (TH) ve ortofosfat değerlerinin içme suyu standartları ve Kita içi Su Kriterlerine göre yüksek olduğu belirtilmiştir [30]. Başka bir çalışmada [31] ise bazı aylarda ölçülen toplam sertlik, bulanıklık, orto-fosfat, deterjan ve bazı ağır metal konsantrasyonlarının Yerüstü su kalitesi yönetmeliği (YSKY) [34], İçme Suyu Standartları (TS 266) [35] ve Dünya Sağlık Örgütü [36] tarafından önerilen standart değerlerin üstünde, diğer parametrelerin ise kabul edilebilir kalite değerleri seviyesinde olduğu belirtilmiştir. Yapılan literatür araştırmalarına göre Atasu Barajı Havzasında yüzey sularının kimyasal özellikleri ve özellikle içmesuyu olarak kullanılan

baraj gölünün su kalitesini ortaya koyan güncel bir çalışma bulunmamaktadır. Bu çalışmada Trabzon İli'nin içme-kullanma suyunu sağlayan Atasu Baraj gölü havzasında su kalitesi Kanada Su Kalite İndeksi (CWQI) yöntemi kullanılarak değerlendirilmiştir.

2 Materyal ve Metot

2.1 Çalışma Alanı

Çalışma alanı Trabzon'un Ortahisar, Yomra ve Akçaabat ilçelerine içme suyu sağlayan Atasu Barajı havzasını kapsamakta ve 40° 35' - 40° 51' kuzey enlemleri ile 39° 38' - 39° 47' doğu boylamları arasında yer almaktadır (Şekil 1).



Şekil 1. İnceleme alanı yer bulduru haritası

Figure 1. Location map of study area

Trabzon Maçka ilçesinde Galyan Deresi üzerinde inşa edilen Atasu Barajı havzasında dağınık köy yerleşimleri bulunmaktadır. Havzada akış gösteren en önemli yüzey suyu Galyan Deresi'dir. Dere suları 2300 rakımlı dağlardan doğarak kuzey yönü akışını sürdürürken sürekli ve mevsimlik akış gösteren birçok yan kolları da bünyesine katmaktadır. En önemli yan kol Temelli Mahallesi'nde ana kol ile birleşen Şimşirli Deresi'dir. Galyan Deresi havzasının üst kotlarında mera alanları ve bu alanlarda yazıları konaklanan yayla yerleşimleri mevcuttur.

Alanda kişileri ilk, yazıları sıcak iklim hükümlerinde dört mevsim yağış görülmektedir. Maçka Meteoroloji istasyonu 2014-2020 yılları arası verilerine göre yıllık ortalama yağış 731 mm'dir (Tablo 1). Maksimum yağış değeri Mayıs ayında 94 mm, minimum yağış değeri ise Şubat ayında 33 mm olarak gerçekleşmiştir. Sıcaklık verilerine göre, ortalama sıcaklığın en düşük olduğu ay 2 °C ile Ocak, ortalama sıcaklığın en yüksek olduğu ay ise 16 °C ile Ağustos ayıdır. Thornthwaite [37] yöntemi ile potansiyel buharlaşma- terleme (Etp) değeri yıllık toplam 613 mm, gerçek buharlaşma- terleme (Etr) değeri ise yıllık toplam 606 mm olarak belirlenmiştir. Buharlaşma terleme yolu ile havzaya düşen yağışın yaklaşık %75'i tekrar atmosfere geri dönmektedir.

Tablo 1. Trabzon/Maçka ilçesine ait 2014-2020 yılları arası aylık sıcaklık ve yağış değerleri

Table 1. Monthly temperature and precipitation values of Trabzon / Maçka district between 2014-2020

AYLAR	1	2	3	4	5	6	7	8	9	10	11	12	YILLIK
Ort. Sıcaklık (°C)	2	5	5	8	12	14	15	16	14	10	7	4	9
Aylık Ort. Yağış Miktarı (mm)	66	33	56	54	94	71	56	49	66	71	48	67	731

2.2 Arazi Çalışmaları

Arazi çalışmaları jeoloji haritasının arazide kontrolü, örnekleme ve yerinde ölçüm çalışmaları olarak gerçekleştirilmiştir. Arazi çalışmaları ile Atasu Barajı'ni besleyen yerüstü sularının yerleri tespit edilmiş ve Galyan Dere'sinin yan kollarından ve ana dere üzerinden analiz yapılmak üzere su alınacak noktalar belirlenmiştir (Tablo 2). Baraj gölünü besleyen yan kollar üzerinde belirlenen noktalarda ve baraj gölünden, iki ayda bir olmak üzere su kalitesi parametreleri analizleri için örnekleme ve yerinde ölçüm çalışmaları yapılmıştır. İz element analizleri için yağlı ve kurak peryotta olmak üzere iki kez örnekleme yapılmıştır. Su örnekleme ve ölçüm çalışmaları Ekim 2019 tarihinde başlamış, iki ay aralıklarla örnekleme ve ölçüm yapılması planlanmıştır. Ancak pandemi nedeniyle 2020 yılında çalışmalar iş programına uygun gerçekleştirilememiş, Nisan ve Mayıs aylarında ölçüm ve örnekleme yapılamamıştır. Aradaki zamanı kapatmak amacıyla Haziran, Temmuz ve Ağustos aylarında ölçüm ve örneklemler yapılarak arazi çalışmaları tamamlanmıştır.

Tablo 2. İnceleme alanında ölçüm ve örnekleme yapılan noktalar.

Table 2. Points where measurement and sampling were performed in the study area.

Örnek Noktaları	Örnek Kodu	Kot (m)	Koordinatlar
Yüzüncüyl Mez.	YYM	1075	40°43'99"K 39°41'40"D
Kuşçu Mevkı	KM	848	40°45'44"K 39°40'39"D
Cinalı Mevkı	CM	564	40°48'07"K 39°40'37"D
Taşhan Köprüsü	THK	583	40°48'44"K 39°40'51"D
Şimşirli Dere	SD	411	40°50'28"K 39°42'40"D
Atasu Baraj Gölü	BG	337	40°50'35"K 39°41'44"D

Yerinde ölçüm çalışmalarında sahadaki yüzey sularında yağlı, kurak ve ara dönemleri temsil etmek üzere pH, TDS (Toplam Çözünmüş Madde Miktari), EC (elektriksel iletkenlik), T (sıcaklık), DO (Çözünmüş Oksijen) ölçümleri dijital HACH-HQ40D çoklu parametre ölçer aleti ile altı kez yapılmıştır. Her arazi çalışmasından önce uygun tampon çözeltiler ile ölçümler esnasında kullanılan problemlerin kalibrasyonları yapılmıştır. Örnek alımında majör iyonlar için 500 ml polietilen şişeler, bakteriyolojik analizler için 500 ml özel plastik şişeler, ağır metaller için 100 ml polietilen şişeler kullanılmıştır (Şekil 2). Örnek alımından önce şişeler ve kapakları 3 kez analizi yapılacak su ile çalkalanmış, ağır metal analizleri için asitleme işlemi yapılmıştır. 0.45 μluk filtrelerden geçirilerek alınan örnekler analiz yapılacak laboratuvara soğutulmuş kutularda taşınmıştır. Örnek alma, saklama ve taşıma işlemleri TS EN ISO 5667-3'e [38] göre yapılmıştır.

2.2. Laboratuvar Çalışmaları

Tespit edilen noktalardan alınan su örnekleri majör iyonlar ve organik maddeler tayini için TS EN ISO 5667-3'ün [38] önerdiği taşıma koşullarında Trabzon İçmesuyu ve Kanalizasyon İdaresi

(TİSKİ) laboratuvarına, ağır metal tayini için DSİ 22. Bölge Müdürlüğü laboratuvarına ulaştırılmıştır. Fiziko-kimyasal ve ağır metal parametrelerinin analizleri Türk Standartları, Standart Yöntemler ve U.S. Çevre Koruma Ajansı Standardlarına göre yapılmıştır. Anyonlar ve katyonlar iyon kromografi cihazıyla, ppm ve ppb seviyesinde analiz edilmiştir. Alınan kayaç örnekleri KTÜ Mühendislik Fakültesi Jeoloji Mühendisliği bölümü laboratuvarında ince kesit haline getirilmiştir. Hazırlanan ince kesitler KTÜ Mühendislik Fakültesi Jeoloji Mühendisliği bölümünde polarizan mikroskop altında incelenmiştir. Yüzey sularının hidrojeokimyasal özelliklerinin tanımlanmasında, iyon bollukları dikkate alınarak kimyasal özellikleri incelenmiş ve Schoeller ve Piper diyagramları kullanılarak değerlendirilmeler yapılmıştır. Çalışma alanında yer alan suların kalite değerlendirilmesinde ise Kanada Su Kalite İndeksi (CWQI) yöntemi uygulanmıştır.



Şekil 2. Ölçüm ve örnekleme çalışmaları

Figure 2. Measurement and sampling studies

2.3. Kanada Su Kalite İndeksi (CWQI)

Bir noktaya ait su kalite parametrelerinin verdiği sonuçları tek tek değerlendirmek ve suyun kalitesi hakkında söz söylemek son derece zor ve karmaşıktır. Bu sebeple yerel halk gibi çoğu paydaş, su kalitesi verileriyle doğrudan ilgilenmemekte ve su kalitesi ile ilgili özetenmiş net bilginin üzerinde odaklanmaktadır [39]. Su kalitesi ile ilgili ilk bilgiler Horton tarafından [40] Su Kalite İndeksi (WQI) metodu olarak ortaya konmuştur. Bu metot yeni araştırmacılar tarafından geliştirilmeye ve yeni WQI yöntemleri bulunmaya çalışılmıştır. Günümüzde çeşitli WQI metodu bulunmaktadır. Bunlardan Brown ve dig. [41] tarafından Amerika Ulusal Sağlık Sistemi

Vakfi (National Sanitation Foundation) desteği ile geliştirilmiş Su Kalite İndeksi NSFWQI (National Sanitation Foundation Water Quality Index), Kanada Çevre Bakanlığı'nın 2001 yılında ortaya koyduğu Kanada Su Kalite İndeksi (CWQI), Hebert [42] tarafından geliştirilen Bakteriolojik ve Fiziko-Kimyasal Su Kalite İndeksi (IQBP) yaygın kullanılan indekslerdir. Bu çalışmada havzadaki yüzey sularının kalite durumlarının belirlenmesi için yaygın bir şekilde kullanılan CWQI endeksi kullanılmıştır.

CWQI yöntemine göre bir örnek noktasının WQI değerinin hesaplanabilmesi için en az dört kez o noktadan örnek alınması ve alınan örnekler üzerinde en az dört su kalite parametresi analiz edilmesi gereklidir [43]. Oldukça pratik ve uygulaması basit olan CWQI yöntemi karmaşık verilerin sentezlenmesine yardımcı olmakla beraber birçok veriden tek bir endeks değeri oluşturulmasından dolayı anlaşılır olmaktadır ve karar veren kurumlara ise son derece kolaylık sağlamaktadır [43]. CWQI indeksi (1) nolu eşitlikle belirlenmektedir.

$$CWQI = 100 - \left[\frac{\sqrt{(F_1^2 + F_2^2 + F_3^2)}}{1,732} \right] \quad (1)$$

Bu eşitlikte yer alan 3 faktör (F_1 , F_2 ve F_3) aşağıdaki (2), (3) ve (8) eşitlikleriyle hesaplanır. Kapsam olarak adlandırılan ve F_1 simgesi ile tanımlanan faktör çeşitli ülkeler (Türkiye, Kanada, ABD vs.), ülkeler Birliği (Avrupa Birliği) veya örgütler (Dünya Sağlık Örgütü) tarafından belirlenen su kalite parametreleri standartlarında verilen limit değerleri (veya hedef değerleri) aşan analizi bulunan parametrelerin sayısının toplam parametre sayısına oranının yüzde olarak ifadesidir. F_1 değeri (2) nolu eşitlikle belirlenir.

$$F_1 = \left[\frac{(\text{Limit Değ. Aşan Deneyi Bul. Param. Sayısı})}{(\text{Toplam Parametre Sayısı})} \right] \times 100 \quad (2)$$

F_2 simgesi kullanılan ve frekans olarak adlandırılan ikinci faktör, standartlarda belirlenen limit değerleri aşan analiz sayısının toplam analiz sayısına göre yüzdesini ifade eder ve (3) nolu eşitlikle hesaplanır.

$$F_2 = \left[\frac{(\text{Limit Değeri Aşan Deney Sayısı})}{(\text{Toplam Deney Sayısı})} \right] \times 100 \quad (3)$$

Genişlik olarak adlandırılan ve F_3 simgesi ile tanımlanan 3. faktör üç aşamada tayin edilir. İlk aşamada elde edilen her parametrenin analiz sonuçları her parametreye göre belirlenen limit veya hedef (bu çalışmada TS 266 [35] verdiği limit değerleri kullanılmıştır) değerine uygun olmayan (duruma göre hedef değerinden küçük veya büyük olması istenir) her analiz sonucu için bir sapma değeri hesaplanır. Sapma değeri hesaplamasında eğer analiz değeri limit değerinden büyük olması istenmiyorsa o durumda kalite kriterine uygun olmayan analizler limit değerinden büyük olur ve eşitlik (4) ile hesaplanır. Eğer analiz değeri limit değerine göre büyük olması isteniyorsa o zaman kalite kriterine uygun olmayan analiz değeri limit değerinden küçük olur ve eşitlik (5) ile belirlenir. Hedef veya limit değeri sıfır olduğu durumlarda eşitlik (6) kullanılmaktadır.

$$Sapma_i = \left[\frac{\text{Limit Aşan Deney Değerisi}}{\text{Limit Değeri}} \right] - 1 \quad (4)$$

$$Sapma_i = \left[\frac{\text{Limit Değeri}}{\text{Limit Aşan Deney Değerisi}} \right] - 1 \quad (5)$$

$$Sapma_i = \text{Limit Aşan Deney Değeri}_i \quad (6)$$

İkinci aşamada eşitlik (7) kullanılarak belirlenmiş bütün sapmaların toplamı, toplam analiz sayısına bölünerek normalleştirilmiş sapmalar toplamı (nse) elde edilir.

$$nse = \left[\frac{\sum_{i=1}^n (\text{Sapma}_i)}{(\text{Toplam Deney Sayısı})} \right] \quad (7)$$

Son aşamada elde edilen nse ile eşitlik (8) kullanarak F_3 belirlenmektedir.

$$F_3 = \left[\frac{nse}{(0.01 \times nse) + 0,01} \right] \quad (8)$$

F_1 , F_2 ve F_3 değerleri kullanılarak eşitlik (1) ile CWQI değerleri hesaplanmaktadır.

Yukarda belirlenen kural, aşamalar ve verilen formüllere uyularak çalışma alanındaki yüzey sularının CWQI değerleri hesaplanmıştır. Hesaplanan değerler Tablo-3'de verilen sınıflama dikkate alınarak değerlendirilmiştir.

Tablo 3. Kanada Su Kalitesi Endeksi (CWQI) derecelendirmeleri, değerleri ve açıklamaları [43].

Table 3. Canadian Water Quality Index (CWQI) ratings, values and descriptions [43].

Derece	CWQI Değerleri	Yorumlayıcı Açıklama
Mükemmel	95-100	Su kalitesi, sanal bir tehdit veya bozulma olmamasıyla korunur; doğal veya bozulmamış seviyelere çok yakın koşullar,
İyi	80-94	Su kalitesi yalnızca küçük bir tehdit veya bozulma derecesi ile korunur; koşullar nadiren doğal veya istenilen seviyelerden ayrılır
Orta	60-79	Su kalitesi genellikle korunur, ancak bazen tehdit edilir veya bozulur; koşullar bazen doğal veya istenilen seviyelerden sapar
Zayıf	45-59	Su kalitesi sıklıkla tehdit ediliyor veya bozuluyor; koşullar genellikle doğal veya istenilen seviyelerden sapar,
Kötü	0-44	Su kalitesi neredeyse her zaman tehdit altındadır veya bozulmaktadır; koşullar genellikle doğal veya istenilen seviyelerden farklıdır.

3 Bulgular ve Tartışma

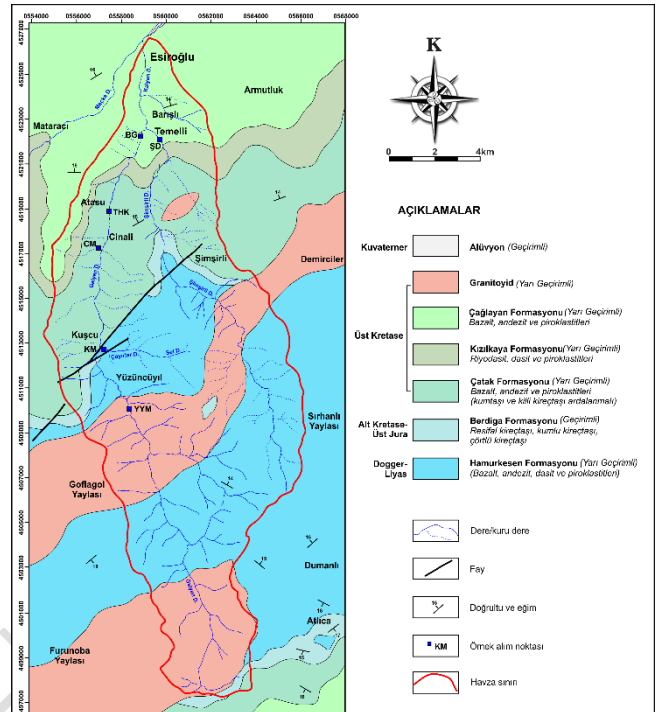
3.1 Jeoloji

Çalışma alanında yaşıdan gence doğru Liyas yaşı Hamurkesen Formasyonu [44], Alt Kretase yaşı Berdiga Formasyonu [45], Üst Kretase yaşı Çatak Formasyonu [46], ile Kızılıkaya Formasyonu [46], Paleosen yaşı Kaçkar Granitoidi [46], yüzeylenmektedir (Şekil 3). Havzanın üst kotlarında yüzeylenen Hamurkesen Formasyonu kırmızımsı, sarımsı, beyaz renkli çakıltaşlığı, çakılı kumtaşı, silttaşlığı, bazalt, andezit, tuf ve tüfit ardalanmasından oluşur. Altta kırmızı renkli tabakaların, köşeli çakılı, kötü boyanmalı, kötü derecelenmeli çamurtaşlığı, çakıltaşlığı, çakılı kumtaşı ardalanımı ile başlayan birim, alt düzeylerinde daha çok beyaz, orta ince tabakalı, epiklastik kumtaşı, tuf, tüfit, yeşil renkli kloritli

ignimbrit seviyeleri ile devam eder. Kirıntılı düzeylerle volkanitler, tüfler ve tüfitler ardalanır. Kumtaşı, kumlu kireçtaşları tabakaları bol mercan ve iri ammonit ve pelesipod fosilleri içerir.

Berdiga Formasyonuna ait kayaçlar havzada Şimşirli ve Kuşcu Mahalleri civarında yüzeylenmektedir (Şekil 3). Birim çoğunlukla gri renkli ve tabakalı killi kireçtaşları, rekristalize kireçtaşları, çörtülü ve kumlu kireçtaşlarından oluşur. İnceleme alanında birim %60-70 oranında mikrit içeren rekristalize kireçtaşları ile temsil edilir. Kayaç içerisinde bileşenlerin tamamına yakını biyojen-biyoklastlardan oluşmaktadır. % 5 oranında opak mineral mevcuttur. Ayrıca ekinid plakaları gözlenmiştir. Kayaç içerisinde yer yer çatlak şeklinde gözlenen stilolitleşme mevcuttur. Berdiga Formasyonu, Hamurkesen Formasyonu üzerine uyumlu olarak gelir. Kuşcu, Şimşirli ve Cinali mahallerinde yüzeylenen Çatak Formasyonu genel olarak andezit bazalt ve piroklastların kumtaşı, marn, kiltası, silttaşı tabakaları ile ardalanmasından meydana gelir (Şekil 3). Bazaltlarda iyi gelişmiş yastık lav yapıları gözlenmiştir. Berdiga Formasyonu üzerine uyumlu olarak gelen ve kalınlığı yaklaşık 750-1000 m arasında olan Çatak Formasyonunun yaşı Turoniyen-Koniasiyen-Santoniyen zaman aralığı olarak belirlenmiştir [46]. Çatak Formasyonu'nun üzerine uyumlu olarak gelen Kızılıkaya Formasyonu gri-beyaz ve gri-sarımsı renkli dasit-riyodasit türü kayaçlar ve piroklastlarından oluşmaktadır. Formasyonun üst kısımlarında tuf ve tuf-breş tipinde kayaçlar yer alır ve bu kısımlarda hidrotermal ayırmalar (silisleme, serizitleşme, killeşme, limonitleşme ve kloritleşme) yaygındır. İnceleme alanında dasit türü volkanik kayaçlarla temsil edilir. Çağlayan Formasyonu ile uyumlu olarak örtülen birime Senoniyen yaşı vermiştir [46]. İnceleme alanının kuzey kesiminde Temelli ve Barışlı mahallerinde yüzeylenen Çağlayan Formasyonu bazalt- andezit ve bazaltik piroklastiklerden meydana gelmiştir. Bazalt- andezit türü kayaçlarla başlayan birim üsté ve yanlara doğru piroklastiklere geçer. Bazaltlar yer yer boşluklu olup, boşuklar kalsit, zeolit ve klorit mineralleri ile doldurulmuştur. Mikroskopik incelemelerinde bazaltların mikrolitik porfirk doku gösterdikleri, plajiyoklas, ojit, klorit, kalsit, zeolit ve opak mineralleri içerdikleri belirlenmiştir. Plajiyoklaslar hem iri kristaller hem de mikrolitler şeklinde gözlenir. Birimin yaşı içeriği fosil topluluğuna dayanarak Santoniyen olarak belirtilmiştir [46]. Güven [46] tarafından granitten gabroya kadar değişim gösteren intrüzif kayaçlar granitoyid olarak tanımlanmış, Mesozoyik ve Senozoyik yaşı birimler içersine sokulum yapmışlardır. Mesozoyik yaşı birimler içersine sokulum yapan intrüzif kayaçlar Kaçkar Granitoyidi I olarak, Senozoyik yaşı istifler içine sokulum yapanlar ise Kaçkar Granitoyidi II olarak ayırtlanmıştır. İnceleme alanında Mesozoyik yaşı birimler içersine sokulum yapan intrüzifler Kaçkar Granitoyidi I olarak kabul edilmiştir. Granodiorit, diorit, dolerit, monzogranit gibi değişik kayaç gruplarından oluşan granitoyid çalışma alanında monzogranit ve diorit türü kayaçlarla temsil edilir. Momzogranitlerde açık renkli mineraller plajiyoklas, kuvars ve ortoklas, koyu renkli mineraller ise hornblend ile temsil edilmekte olup, opak mineraller bunlara eşlik ederler. Plajiyoklaslar, genellikle öz ve yarı özçekilli, yer yer kırılmış, parçalanmış kristaller halinde gözlenmektedirler. Yarı özçekilli ve/veya halkalı zonlanma gösteren plajiyoklaslarda killeşme mevcuttur. Kuvarslar özçekilsiz ve küçük kristaller halinde olup, dalgalı sönme gösterirler. Ortoklaslar, çok az miktarda ve özçekilsiz kristaller halinde bulunurlar. Bazı ortoklaslarda serisitleşme gözlenmektedir. Bazı ortoklaslar plajiyoklas ve hornblend

mikrofenokristalleri içерerek monzonitik dokuyu oluştururlar. Hornblendler yarı özçekilli çok küçük lataalar halinde bulunurlar ve yer yer kloritleşmişlerdir. Opak mineraller yarı öz ve özçekilsiz küçük kristaller halinde, yer yer mafik minerallerin çevresinde ve içerisinde kapanım olarak bulunurlar.



Şekil 3. Atasu Baraj Gölü havzasının jeoloji haritası [47]

Figure 3. Geological map of the Atasu Dam Reservoir basin [47]

3.2 Hidrojeoloji

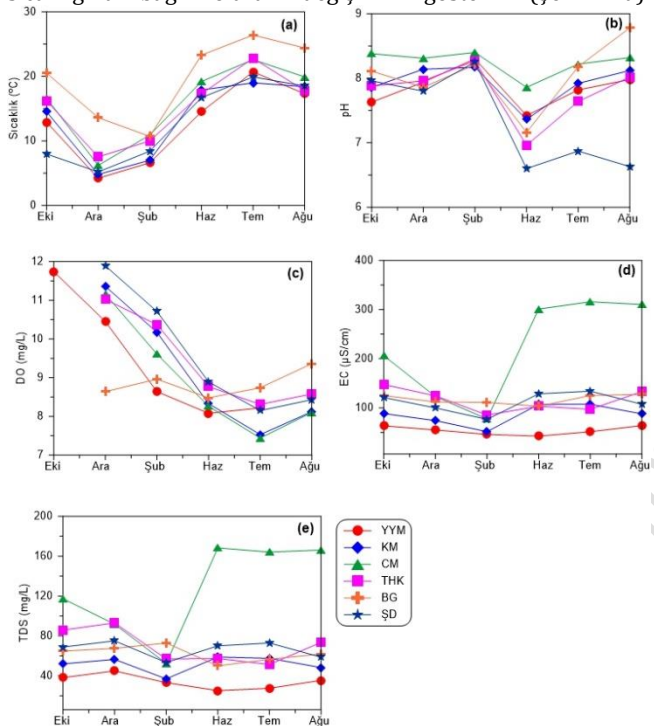
Atasu Baraj Gölü havzası drenaj alanında akifer özelliğini taşımayan genelde granitik, granodiyoritik ve volkanik kaya birimleri yüzeylenmektedir. Bu kayaçların birincil gözeneklilikleri düşüktür. Ancak hepsinde gelişen ikincil gözeneklilik genellikle çatlaklar şeklindeki gözenekliliklerdir. Kayaçların gözeneklilikleri çatlaklılık durumuna bağlı olarak değişkenlik gösterir. Dolayısıyla alanda yüzeylenen kayaçların gözeneklilik ve geçirimlilik durumları yersel olarak farklılık gösterir. Ancak genel olarak Berdiga Formasyonu ve altıyon geçirimli birimleri oluştururken diğer birimler yarı geçirimli olarak kabul edilmiştir (Şekil 3). Çatlaklı olan kısımlarda yüzeyden yeraltına süzülen yüzey suları sığ derinliklerde yeraltılarını oluşturur. Bu sular da çatlakların topografya ile kesiştiği kesimlerden tekrar yüzeye boşalar. Bu boşalımlar yağıştan beslenmeye bağlı olarak mevsimsel olarak değişir. Bölgenin yoğun bitki örtüsü ile kaplı olması, her mevsim yağış olması ve topografik özellikleri nedeniyle bölgede kaynak olarak adlandırılan suların çoğu zaman belirli bir çıkış noktası da izlenmemektedir. Çok yüksek debili olmayan bu boşalımlar daha çok eğimli yüzeylerde kendisini sınırlı şeklinde gösterir. Bu boşalımların çok az bir kısmı kırsal kesimdeki bir veya birkaç yerleşimin su ihtiyacını karşılamada kullanılmaktadır.

3.3 Hidrojeokimya

Doğal suların zamansal ve mekansal açıdan bileşiminin incelenmesi ve kimyasının değişimi ve nedenlerinin araştırılması su kalitesi açısından son derece önemlidir. Bunun için yeraltı ve yerüstü sularının jeokimyasal araştırmalarında

mümkin olduğunda fiziksel, kimyasal ve bakteriyolojik parametrelerinin analiz edilmesi ve elde edilen sonuçların da su kaynaklarının kalitesine yönelik öütülerle değerlendirilmesi gereklidir.

Çalışma alanında yüzey sularının hidrojeokimyasal özelliklerini ve kalite durumunu ortaya koymak için Galyan Deresi ve yan kollarından su örnekleri alınmıştır. Yüzüncüyl Mezrası, Kuşcu Mevkii, Cinali Mevkii, Taşhan Köprüsü, Şimşirli Deresi ve Atasu Baraj Gölü olarak seçilen noktalarda yerinde ölçümeler yapılmış, analizler için örnekler alınmıştır. Örnek noktalarının seçiminde karışım noktaları dikkate alınmıştır. Alınan su örneklerinin konum bilgileri Tablo 1 ve Şekil 3'te, kimyasal analiz sonuçları ise tablo 4, 5 ve 6 da yer almaktadır. Yerinde ölçülen pH, DO, EC ve TDS parametreleri Tablo 4'te verilmiştir. Suların sıcaklıklarını bulundukları yükseltiye ve ortalama hava sıcaklığına bağlı olarak değişiklik gösterir (Şekil 4a).



Şekil 4. Suların yerinde ölçülen parametrelerin yıl boyunca değişimleri.

Figure 4. Changes of water parameters measured on site throughout the year.

TS 266'da [35] içme sularında pH değeri için 6.5-8.5 arası uygun görülmektedir. İnceleme alanındaki suların pH değerleri 6.60 - 8.78 arasında değişir (Tablo 4). Şimşirli Deresi (SD) dışında suların pH değerleri çok fazla değişiklik göstermez ancak SD pH değerleri yaz aylarında biraz düşüktür. Yağmur suyunun etkisi yağlısı mevsimde (Haziran) bütün suların pH değerlerini düşürmüştür (Şekil 4b). Su kirliliğinde ve atıksu aritiminde çok önemli bir parametre olan çözünmüş oksijen miktarı inceleme alındıktaki sularda 7.44- 11.89 mg/L arasında değişir. Sıcaklığı bağlı olarak değişiklik gösteren DO değerleri en düşük Atasu Baraj Gölünde (BG) ölçülmüştür. Ancak sıcaklığın yüksek olduğu aylarda kolların debisi düşük olduğu için su sıcaklıklarını yükselmiş, Baraj gölü bu sıcaklıklardan daha az etkilenmiştir. Dolayısıyla hava sıcaklığının yüksek olduğu aylarda baraj göl suyunun DO değerleri daha yüksektir (Şekil 4c).

İçme ve sulama suları sınıflandırılmasında bir ölçüt olarak kullanılan özgül elektriksel iletkenlik (EC), inceleme alanındaki sularda 42 - 134 $\mu\text{S}/\text{cm}$ arasında değişir (Tablo 4). Küçük değerler genelde havzanın üst kısımlarındaki yan kollarda gözlenirken yüksek değerler baraj göl suyunda ölçülmüştür. EC değeri CM dışındaki sularda önemli bir değişiklik göstermemektedir (Şekil 4d). CM noktası debisi düşük olan bir kol üzerindedir ve yazın debisi oldukça düşmektedir. Buharlaşmanın etkisi EC üzerinde etkili olmuştur. Suların TDS değerleri de EC ile uyumludur (Şekil 4e).

Havzadaki su örneklerinin major iyon konsantrasyonları genelde düşük olup yüksek konsantrasyonlu katyon ve anyonlar sırasıyla Ca ve HCO_3^- 'dır. Su örneklerinin Ca iyon konsantrasyonu en düşük 7.2 mg/L ile YYM, en yüksek ise 55.6 mg/L ile CM örneklerinde örnekte tespit edilmiştir. Mg iyonu konsantrasyonları en düşük 1.68 mg/L ile YYM, en yüksek 10.3 mg/L ile CM; Na iyonu konsantrasyonları en düşük, 2,79 mg/L ile YYM, en yüksek 6.97 mg/L ile THK örneklerinde ölçülmüştür. Yüzey sularının SO_4^{2-} konsantrasyon değerleri 4.93 ile 21,48 mg/L; Cl konsantrasyon değerleri ise 0.37 ile 2.41 mg/L arasında değişmektedir. SO_4^{2-} konsantrasyon değerleri Cinali mevkiindeki yan koldan alınan su örneğinde minimum seviyede iken, Galyan Deresinden Taşhan Köprüsü mevkiinden alınan örneklerde maksimum değerdedir.

3.3.1 Suların Sınıflandırılması

Atasu baraj Gölü havzasından alınan sular hem hidrokimyasal açısından sınıflandırılmış hem de [34] Su Kirliliği Kontrolü Yönetmeliği (2008) Kitaiçi Su Kaynaklarının Sınıflandırılması kriterlerine göre verilen su sınıfları açısından değerlendirilmiştir. Bu sınıflamalarda tablo 5'de verilen analiz sonuçları kullanılmıştır. Su analiz verilerinin doğruluğu yük-denge eşitliği ile test edilmiştir. Tüm majör iyon analizlerinde yük-denge hatası (e) < % 7'den küçüktür.

Atasu Barajı havzasındaki suların hidrojeokimyasal açısından sınıflandırılmasında majör iyon konsantrasyonları kullanılarak Uluslararası Hidrojeologlar Birliği (IAH) [48] sınıflaması dikkate alınmış ve belirlenen su sınıfları tablo 6'da verilmiştir.

IAH'a, göre karışım suların adlandırılmasında katyon grubu ve anyon grubundan %20'den fazla iyonların (önce katyonlar sonra anyonlar sıralanmak suretiyle) birlikte su tipini oluşturduğu ve su tipini ikiden fazla iyonun oluşturduğunu belirtmiştir [48]. İnceleme alanındaki suların YYM (Yüzüncüyl Mezrası) dışındakilerin Ca-Mg-HCO₃ tipinde olduğu YYM'nin ise iki dönem Ca-HCO₃-SO₄, Şubat döneminde ise karışık tipde olduğu belirlenmiştir (Tablo 6).

Tablo 4. Su noktalarında yerinde ölçülen parametreler (Sıcaklık, EC, TDS, DO ve pH)

Table 1. Parameters measured on site at water points (Temperature, EC, TDS, DO and pH)

Parametre	Tarih	Yüzüncüyl Mezrası YYM	Kuşcu Mevki KM	Cinalı Mevki CM	Taşhan Köprüsü THK	Şimşirli Deresi SD	Baraj Gölü BG
Sıcaklık	Ekim 2019	12.9	14.5	16.6	16.2	7.96	20.5
	Aralık 2019	4.2	4.8	6.2	7.5	5.2	13.6
	Şubat 2020	6.6	7.0	10.9	10.0	8.4	10.7
	Haziran 2020	14.5	17.9	19.2	17.3	16.7	23.3
	Temmuz 2020	20.7	19	22.6	22.8	19.9	26.3
	Ağustos 2020	17.3	18.4	19.9	17.8	18.5	24.4
	ortalama	12.70	13.60	15.90	15.27	12.78	19.80
pH	Ekim 2019	7.83	7.86	8.38	7.88	7.96	8.11
	Aralık 2019	7.94	8.14	8.31	7.96	7.80	7.86
	Şubat 2020	8.30	8.17	8.40	8.27	8.25	8.21
	Haziran 2020	7.42	7.36	7.86	6.96	6.60	7.16
	Temmuz 2020	7.82	7.92	8.22	7.64	6.87	8.18
	Ağustos 2020	7.98	8.12	8.32	8.02	6.63	8.78
	ortalama	7.88	7.93	8.25	7.79	7.35	8.05
DO (mg/L)	Ekim 2019	-	-	-	-	-	-
	Aralık 2019	11.74	11.36	11.16	11.2	11.89	8.64
	Şubat 2020	10.45	10.17	9.61	10.37	10.71	8.96
	Haziran 2020	8.64	8.33	8.26	8.77	8.89	8.48
	Temmuz 2020	8.08	7.53	7.44	8.31	8.15	8.74
	Ağustos 2020	8.22	8.12	8.10	8.68	8.43	9.36
	ortalama	9.43	9.10	8.91	9.47	9.61	8.84
EC ($\mu\text{S}/\text{cm}$)	Ekim 2019	63.3	88.2	206.2	147.5	120.9	125.1
	Aralık 2019	55.0	73.9	122.9	124.4	99.7	112
	Şubat 2020	45.8	51.6	77.3	85.5	76.5	111.1
	Haziran 2020	42.4	107.0	301	103.3	128.6	103.2
	Temmuz 2020	51.4	107.2	316	97.1	134	125.1
	Ağustos 2020	63.9	87.8	310.3	132.9	107.3	127.6
	ortalama	53.63	85.95	222.28	115.12	111.17	117.35
TDS (mg/L)	Ekim 2019	38.2	52	117.3	85.9	68.8	64.8
	Aralık 2019	44.9	56.5	91.8	93.1	75.1	67.6
	Şubat 2020	33.2	37	52.5	56.9	53.4	72.9
	Haziran 2020	25.1	58.9	168.2	57.4	72.9	50.1
	Temmuz 2020	27.5	57.6	164.1	51.4	70.1	56.6
	Ağustos 2020	36.5	48.3	166.2	73.6	58.7	62.0
	ortalama	34.23	51.72	126.68	69.72	66.50	62.33

Tablo 5. İnorganik kimyasal, organik kirlenme ve bakteriyolojik parametreler

Table 5. Inorganic chemical, organic contamination and bacteriological parameters

Ekim-2019	YYM-1	KM-1	CM-1	THK-1	SD-1	BG-1
Ca ⁺² (mg/L)	10.51	14.03	38.9	25.48	20.5	19.16
Mg ⁺² (mg/L)	1.98	3.1	5.24	4.97	4.18	3.36
Na ⁺ (mg/L)	2.79	3.31	5.24	3.56	3.17	2.91
K ⁺ (mg/L)	0.55	0.62	0.57	0.64	0.62	0.61
HCO ₃ ⁻ (mg/L)	34	46	120	80	60	59
Cl ⁻ (mg/L)	0.8	1	2.41	1.05	0.68	0.83
SO ₄ ²⁻ (mg/L)	9.91	7.9	5.12	10.27	9.97	7.77
NH ₄ ⁺ (mg/L)	<0.001	<0.001	<0.001	<0.001	<0.001	<0.001
NO ₂ ⁻ (mg/L)	0.06	0.063	0.059	0.06	0.061	0.06
NO ₃ ⁻ (mg/L)	2.12	6.14	5.73	4.82	6.69	5.02
Fosfat (mg/L)	<0.001	<0.001	<0.001	<0.001	<0.001	<0.001
KOİ (mg/L)	2.95	1.37	6.05	2.35	2.97	2.53
Top.Organik karbon (mg/L)	-	-	-	-	-	-
Top.koliform (EMS/100 mL)	2	20	-	17	100	7
Aralık-2019	YYM-2	KM-2	CM-2	THK-2	SD-2	BG-2
Ca ⁺² (mg/L)	12.5	17.78	32.17	28.25	20	20.06
Mg ⁺² (mg/L)	2.1	3.36	4.81	5.04	4.24	3.4
Na ⁺ (mg/L)	2.93	3.27	5.4	3.71	3.27	3.07
K ⁺ (mg/L)	0.57	0.64	0.56	0.61	0.57	0.59
HCO ₃ ⁻ (mg/L)	46	60	84	103	62	62

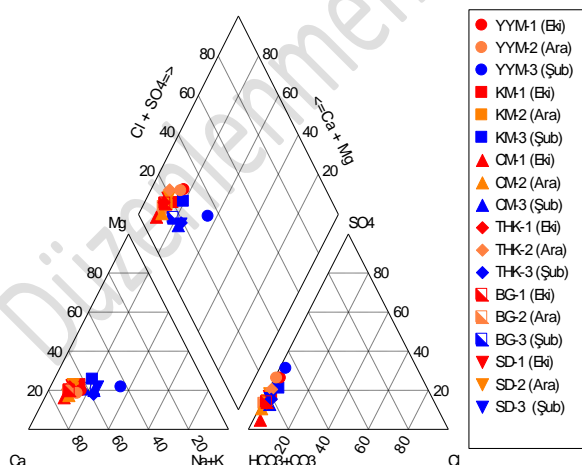
Cl ⁻ (mg/L)	0.37	0.88	0.49	0.72	0.5	0.48
SO ₄ ²⁻ (mg/L)	13.07	8.33	8.14	21.48	11.22	7.56
NH ₄ ⁺ (mg/L)	0.08	0.04	0.1	0.1	0.12	0.06
NO ₂ ⁻ (mg/L)	0.072	0.075	0.064	0.052	0.06	0.064
NO ₃ ⁻ (mg/L)	3.97	11.23	6.85	10.32	9.04	8.97
Toplam Fosfat (mg/L)	<0.001	<0.001	<0.001	<0.001	<0.001	<0.001
KOİ (mg/L)	0.03	1.44	6.73	2.42	3.11	2.64
Top. Organik karbon (mg/L)	-	-	-	-	-	-
Top. koliform (EMS/100 mL)	20	100	100	80	30	45
Şubat-2020	YYM-3	KM-3	CM-3	THK-3	SD-3	BG-3
Ca ⁺² (mg/L)	6.59	7.91	13.04	16.33	13.5	20.196
Mg ⁺² (mg/L)	2.02	2.23	2.78	3.09	3.29	4.22
Na ⁺ (mg/L)	5.95	2.82	5.65	6.97	6.16	6.51
K ⁺ (mg/L)	0.48	0.56	0.28	0.69	0.69	0.69
HCO ₃ ⁻ (mg/L)	20	24	40	48	44	62
Cl ⁻ (mg/L)	0.56	0.89	1.08	1.13	0.81	1.08
SO ₄ ²⁻ (mg/L)	7.49	5.37	4.93	7.36	6.82	8.24
NH ₄ ⁺ (mg/L)	<0.001	0.109	<0.001	0.172	0.15	0.054
NO ₂ ⁻ (mg/L)	<0.001	<0.001	0.022	0.018	<0.001	<0.001
NO ₃ ⁻ (mg/L)	10.76	8.04	8.05	10.35	12.74	5.68
Toplam Fosfat (mg/L)	0.15	0.16	<0.001	0.16	0.16	0.16
KOİ (mg/L)	-	-	-	-	-	-
Top. Organik karbon (mg/L)	-	-	-	-	-	-
Top. koliform (EMS/100 mL)	3	18	100	10	100	5
Haziran-2020	YYM-4	KM-4	CM-4	THK-4	SD-4	BG-4
Ca ⁺² (mg/L)	9.6	16	53.2	16.4	22.8	14
Mg ⁺² (mg/L)	1.68	3.12	8.4	3.36	4.08	2.4
Na ⁺ (mg/L)	-	-	-	-	-	-
K ⁺ (mg/L)	-	-	-	-	-	-
HCO ₃ ⁻ (mg/L)	-	-	-	-	-	-
Cl ⁻ (mg/L)	-	-	-	-	-	-
SO ₄ ²⁻ (mg/L)	-	-	-	-	-	-
NH ₄ ⁺ (mg/L)	0.07	0.04	<0.001	<0.001	0.05	<0.001
NO ₂ ⁻ (mg/L)	0.008	0.01	0.013	0.015	0.01	0.014
NO ₃ ⁻ (mg/L)	0.7	2.2	1.8	1.7	1.1	1.6
Toplam Fosfat (mg/L)	-	-	-	-	-	-
KOİ (mg/L)	-	-	-	-	-	-
Top. Organik karbon (mg/L)	-	-	-	-	-	-
Top. koliform (EMS/100 mL)	60	20	100	18	150	15
Temmuz-2020	YYM-5	KM-5	CM-5	THK-5	SD-5	BG-5
Ca ⁺² (mg/L)	7.2	14.8	55.6	15.2	20.4	16.4
Mg ⁺² (mg/L)	3.12	7.2	10.3	3.84	5.76	4.56
Na ⁺ (mg/L)	-	-	-	-	-	-
K ⁺ (mg/L)	-	-	-	-	-	-
HCO ₃ ⁻ (mg/L)	-	-	-	-	-	-
Cl ⁻ (mg/L)	-	-	-	-	-	-
SO ₄ ²⁻ (mg/L)	-	-	-	-	-	-
NH ₄ ⁺ (mg/L)	0.01	0.08	0.05	0.09	0.16	0.28
NO ₂ ⁻ (mg/L)	0.015	<0.001	<0.001	0.037	<0.001	0.02
NO ₃ ⁻ (mg/L)	0.8	7.3	2.8	2.9	6	1.4
Toplam Fosfat (mg/L)	-	-	-	-	-	-
KOİ (mg/L)	-	-	-	-	-	-
Top. Organik karbon (mg/L)	<0.001	2.28	26.1	1.62	4.81	2.33
Top. koliform (EMS/100 mL)	122	300	100	170	390	700
Ağustos-2020	YYM-6	KM-6	CM-6	THK-6	SD-6	BG-6
Ca ⁺² (mg/L)	11.6	10.4	43.4	21.6	18	20.8
Mg ⁺² (mg/L)	1.92	4.8	3.6	4.8	2.88	2.16
Na ⁺ (mg/L)	-	-	-	-	-	-
K ⁺ (mg/L)	-	-	-	-	-	-
HCO ₃ ⁻ (mg/L)	-	-	-	-	-	-
Cl ⁻ (mg/L)	-	-	-	-	-	-
SO ₄ ²⁻ (mg/L)	-	-	-	-	-	-
NH ₄ ⁺ (mg/L)	0.04	0.09	0.12	0.15	0.07	0.08
NO ₂ ⁻ (mg/L)	0.02	0.013	0.037	0.031	0.014	0.033
NO ₃ ⁻ (mg/L)	0.8	1.9	1.7	1.3	1	1.5
Toplam Fosfat (mg/L)	-	-	-	-	-	-
KOİ (mg/L)	-	-	-	-	-	-
Top. Organik karbon (mg/L)	-	-	-	-	-	-
Top. koliform (EMS/100 mL)	18	224	230	115	140	160

Tablo 6. İnceleme alanındaki suların su tipleri [48]

Table 6. Water types of the waters in the study area [48]

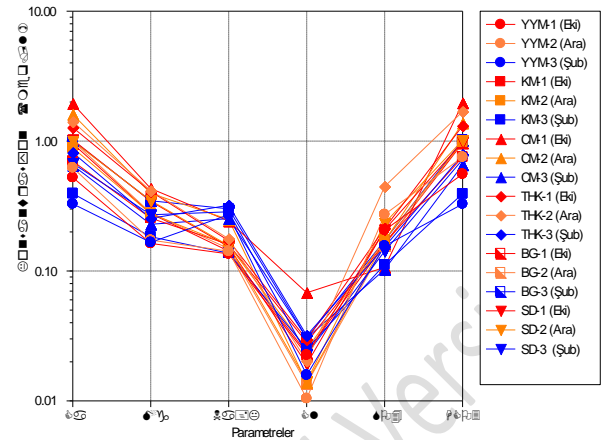
Örnek Lokasyonu	Örnek Adı	Su Tipi
Yüzüncüyl Mezrası (YYM)	YYM-1 (Eki-19)	CaHCO ₃ SO ₄
	YYM-2 (Arlk-19)	CaHCO ₃ SO ₄
	YYM-3 (Şub-20)	CaNaMgHCO ₃
Kuşcu Mevkii (KM)	KM-1 (Eki-19)	CaMgHCO ₃
	KM-2 (Arlk-19)	CaMgHCO ₃
	KM-3 (Şub-20)	CaMgHCO ₃
Cinali Mevkii (CM)	CM-1 (Eki-19)	CaHCO ₃
	CM-2 (Arlk-19)	CaMgHCO ₃
	CM-3 (Şub-20)	CaNaMgHCO ₃
Taşhan Köprüsü (THK)	THK-1 (Eki-19)	CaMgHCO ₃
	THK-2 (Arlk-19)	CaHCO ₃ SO ₄
	THK-3 (Şub-20)	CaNaMgHCO ₃
Şimşirli Deresi (SD)	SD-1 (Eki-19)	CaMgHCO ₃
	SD-2 (Arlk-19)	CaMgHCO ₃
	SD-3 (Şub-20)	CaMgNaHCO ₃
Atasu Baraj Gölü (BG)	BG-1 (Eki-19)	CaMgHCO ₃
	BG-2 (Arlk-19)	CaMgHCO ₃
	BG-3 (Şub-20)	CaMgHCO ₃

Piper ve Schoeller diyagramları kullanılarak kimyasal analiz sonuçları değerlendirilmiştir. Piper Diyagramı, suların katyon-anion çiftini dikkate alarak su fasyeslerinin belirlenmesinde kullanılmaktadır. İnceleme alanındaki suların Piper diyagramındaki konumları şekil 5'te verilmiştir. Şekil incelendiğinde YYM dışındaki suların CaMg-HCO₃ tipinde olan zayıf asitlerin kuvvetli asitlerden fazla olduğu su sınıfında olduğu belirlenmiştir. YYM-1 ve YYM-2 sularının Ca-HCO₃SO₄, YYM-3'ün CaNaMg-HCO₃ tipinde yani katyonları bakımından karışık, anyonları bakımından HCO₃⁻ olduğu belirlenmiştir. Schoeller veya yarı logaritmik ölçekli diyagram logaritmik ölçekte majör iyon (Ca²⁺, Mg²⁺, (Na⁺+K⁺), Cl⁻, SO₄²⁻ ve HCO₃⁻) konsantrasyonlarının birbirlerine göre göreceli durumlarını gösterir. İnceleme alanındaki suların Schoeller diyagramındaki değerlendirilmesi Şekil 6'da verilmiştir. Tüm sularda iyon konsantrasyonlarını birleştirerek doğrular birbirine yakın ve paralel geçmektedir. Bu durum suların benzer bileşimde olduğunu göstermektedir. Sadece Cl⁻ değeri CM-1 su noktasında diğerlerinden nispeten yüksektir.



Şekil 5. İnceleme alanındaki suların Piper diyagramındaki konumları

Figure 5. Plotted of the waters in the study area on the Piper diagram



Şekil 6. İnceleme alanındaki suların Schoeller diyagramındaki konumları

Figure 6. Plotted of the waters in the study area on the Schoeller diagram

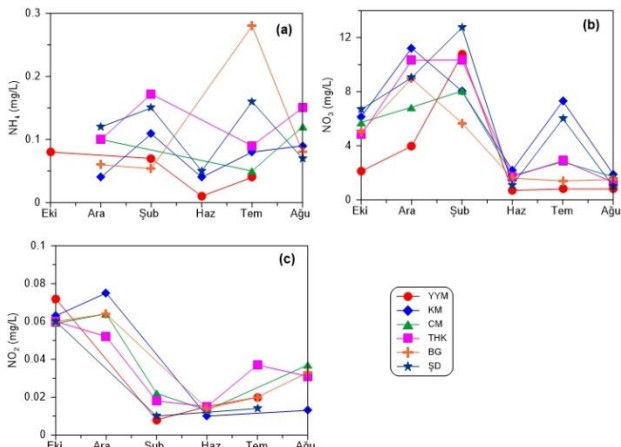
3.3.2 Sulardaki Bazı Kirlilik Parametreleri

Su kaynaklarının kirlenmesi jeogenik ve antropojenik olmak üzere iki yolla meydana gelmektedir. Jeogenik kirlilik esas itibariyle kaya-su etkileşimi nedeniyle doğal nedenlerle, antropojenik kirlilik ise endüstri, kentsel kanalizasyon ve atık depolama alanları, madencilik gibi insan faaliyetleri sonucu meydana gelmektedir. Su kaynaklarında en çok rastlanan kirlilikçi maddeler azot bileşikleri olan nitrat, nitrit, amonyak, ağır metaller ve zehirli bileşiklerdir [6].

Çalışma alanında Atasu Baraj Gölü koruma sınırı dışında kalan alanda fındık tarımı ve kısıtlı ölçüde hayvancılık faaliyetleri yapılmaktadır. Alandaki dağıtık yerleşim evsel atıkların da havza içerisinde gelişigüzel yayılmasına neden olmaktadır. Havzada topografik eğimin fazla olması ve her mevsim yağışın olması sürekli bir yüzeysel akış olmasını sağlamaktadır. Bu akış aynı zamanda üst kotlardaki kirliliğin kısa sürede baraj gölüne ulaşmasına neden olmaktadır.

Çalışma alanında su kaynaklarındaki kirlilik durumunun tespiti için azot türevleri, fosfat, toplam organik karbon (TOC) ve ağır metal analizleri yapılmıştır (Tablo 5).

Azot bileşiklerinden bir tanesi olan NH₄⁺ doğada oldukça fazla bulunur. Su içinde ise genellikle serbest veya tuz halinde amonyak olarak yer almaktadır. Amonyumun bulaşıcı hastalıklara sebep olan parametrelerin arasında yer alması nedeniyle yeraltı ve yerüstü sularının kirli olup olmadığı araştırmalarında sık sık analiz edilen parametrelerden biridir. İnceleme alanında sularda NH₄⁺ değerleri genel olarak düşüktür. En yüksek NH₄⁺ konsantrasyonu 0.28 mg/L olarak Baraj Gölünde ölçülümuştur (Tablo 5). Sulardaki NH₄⁺ değerlerindeki değişim Şekil 7a' da verilmiştir. Gübre yapımında yaygın bir şekilde yer alan NO₃⁻ doğal olarak tarımsal faaliyetlerde kullanılmaktadır. Nitratın yerüstü sularına katılımı genel olarak yağmur suları ile gerçekleşmektedir. İnceleme alanındaki sularda nitrat konsantrasyonu 0.7- 12.74 mg/L arasında değişir. NO₃⁻ iyonu minimum değeri YYM-4, maksimum değeri ise SD-3 numaralı örnekte görülmüştür (Tablo 5). Sulardaki NO₃⁻ değerlerindeki değişim şekil 7b' de verilmiştir.



Şekil 7. İnceleme alanındaki suların Nutrient (Besin Elementleri) Parametreleri

Figure 7. Nutrient Parameters of the waters in the study area

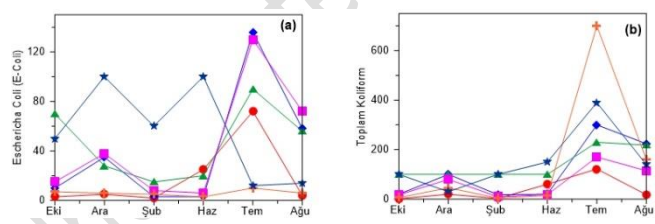
Nitrit iyonu, sularda sıkça görülür fakat nitrat iyonuna göre çok düşük miktarda bulunmaktadır. Ayrıca, nitrifikasiyon (amonyak nitrata dönüşümü) ve denitrifikasiyon (nitrat azotoksite dönüşümü) süreçleri gerçekleştirildiği zaman geçiş formu olarak rol oynayan nitritin insan ve hayvanların beslenmesinde oynadığı zehirleyici rol nittrattan daha fazladır [49]. Böylece suların kirli olup olmadığınn öğrenilmesi için nitrit, nitrat ve amonyum gibi iyonların konsantrasyonu önemlidir. Atasu Baraj havzası sularında NO_2^- değerleri genellikle 0.001 mg/L'den küçüktür. En yüksek değeri 0.07 mg/L olarak YYM-2 örnek noktasında ölçülmüştür (Tablo 5). Sularındaki NO_2^- değerlerindeki değişim şekil 7c' de verilmiştir. Akarsuların debisinin düşük olduğu Ekim Aralik ve Şubat aylarında azot türevlerinin fazla olması akarsuya ulaşan atık sularla ilgilidir. Akarsuların debisinin yüksek olduğu Haziran ayında seyrelmenin etkisiyle bu parametrelerin konsantrasyonları düşmüştür.

Fosfor doğal sularda organik ve inorganik şekillerde bulunur. Fosfatlar doğal kaynaklı yani canlı maddelerinin ayrışması yahut kaya ve fosfor içeren minerallerin yıkanmasından elde edilmektedir. Ancak günümüzde, sudaki varlıklar esas olarak antropojenik (gubreler, hayvanların dışkısı, arıtma istasyonları, deterjan polifosfatları, fosfatlarla işlenmiş su, kimya endüstri) katkılardan oluşmaktadır [50]. 25 °C sıcaklık ve 1 atmosfer basınç altında, pH değeri (0-14) yükseldikçe fosforik asitin (H_3PO_4) yapısında var olan hidrojen iyonundan terk edilerek ortofosfatı (PO_4^{3-}) bulana kadar bu süreç devam etmektedir [51], [52]. İnceleme alanındaki sularda PO_4^{3-} konsantrasyonu genellikle düşüktür, ancak KM, THK ve BG örneklerinde 0.16 mg/L olarak ölçülmüştür (Tablo 5).

Toplam Organik Karbon (TOC) temiz, atık veya katı suların içinde bulunan toplam ve çözünmüş karbon miktarını belirlemek için kullanılmaktadır. Sularda bulunan organik maddeler, tabii olan organik malzemeleri (bitki, yosun, mikroorganizmalar) parçalayıp çözünmesi sonucu olarak suya eklenenler, ev ve ticari faaliyetlerden oluşan sentetik maddeler ve son olarak arıtma işlemleri sırasında suya giren maddeler ya da suda gerçekleştirilen reaksiyonlardan oluşan ürünlerden kaynaklanabilmektedir. Hümik asit gibi bazı tabii organik maddelerin suda bulunması renk, istemeyen tad ve kokular oluşmasının dışında zararlı olmamasıdır [53]. Çalışma alanında sularda TOC değerleri 1.62- 26.1 mg/L arasında değişmektedir.

olup, olup, en yüksek TOC değeri CM-2 noktasında ölçülmüştür (Tablo 5).

Toplum bireylerinin sağlığı için suların mikrobiyolojik açıdan değerlendirilmesi gereklidir. Bakteriyolojik kirlilik nedeni ile dünyanın birçok ülkesinde salgın hastalıklar can kayiplarına neden olmaktadır, su ile bulaşan hastalıklar bebek ölümlerinin nedenleri arasında önemli bir yer tutmaktadır. Sularda insanda hastalık yapıcı hiçbir bakterinin bulunmaması gerekmektedir [54]. Suyun kalitesinde mikrobiyolojik parametrelerin oynadığı önemli rol nedeniyle sularda *E. coli* (E. coli) ve toplam koliform bakteri analiz edilmiştir (Şekil 8a ve b). İnceleme alanındaki sularda E. coli değerleri 2- 138 kob/100 mL (Şekil 8a), toplam koliform bakteri değerleri 2- 700 kob/100 mL arasında değişir (Şekil 8b). En yüksek değerler BG ve KM örneklerinde gözlenmiştir (Tablo 5). Bu durum havzadaki yerleşimlerin atık sularının ve foseptiklerin yüzey sularına karıştığını göstermektedir.



Şekil 8. İnceleme alanındaki suların bakteriyolojik parametreleri

Figure 8. Bacteriological parameters of the waters in the study area

3.3.3 İz Elementler

Doğada bulunan iz elementler de kayaçlar ve maden yataklarının doğal bileşenleridir. Dolayısıyla bu elementler normalde topraklarda, çökeltilerde, yüzey sularında ve canlı organizmalarda düşük seviyelerde (eser miktarlar, % 0.1'den az) bulunur [55] [56]. Çevrede ağır metallerin varlığı doğal nedenlerin yanı sıra insan faaliyetlerinden de kaynaklanabilir. Sularda arsenik konsantrasyonunun yüksek olmasına neden olan en önemli insan aktiviteleri arasında tarım ilaçları ve madencilik faaliyetleri gösterilmektedir. Ülkemizde içme sularında bulunan arseniğin doğal ve antropojenik kaynakları çeşitli araştırmalarda çalışılmıştır [57]. İnceleme alanında sularda kurak (Ekim) ve yağışlı (Haziran) dönem olmak üzere arsenik, alüminyum, krom, mangan, kobalt, nikel, bakır, çinko, kadmiyum, antimон, baryum, kurşun, demir, selenyum ve civa iz elementleri analiz edilmiştir (Tablo 7). Bunlardan krom, kadmiyum, antimон, arsenik, selenyum ve civa konsantrasyonları laboratuvarın ölçüm limitleri altında olduğu için bir değer verilememiştir. Ölçüm değeri verilen ağır metaller kurak ve yağışlı dönemler için değerlendirildiğinde bazlarının yağışlı dönemde azalış gösterdiği bazlarının ise arttığı görülmektedir (Tablo 8). Cu, Ni, Pb element konsantrasyonlarının yağışlı dönemde düşüğü, Fe'nin ise arttığı görülmektedir. Bu artışın nedeni havzanın üst kotlarında yer alan Fe cıvırlarının yağışın etkisiyle yılanarak akarsuya ulaşması olarak yorumlanmıştır.

Tablo 7. İnorganik kirlenme parametreleri

Table 7. Inorganic contamination parameters

	YSKY 2023	YYM-1 (Ek19)	YYM-4 (Haz20)	KM-1 (Ek19)	KM-4 (Haz20)	CM-1 (Ek19)	CM-4 (Haz20)	THK-1 (Ek19)	THK-4 (Haz20)	SD-1 (Eki-19)	SD-4 (Haz20)	BG-1 (Ek19)	BG-4 (Haz20)
Civa ($\mu\text{g Hg/L}$)	1	öla	öla	öla	öla	öla	öla	öla	öla	öla	öla	öla	öla
Kadmiyum ($\mu\text{g Cd/L}$)	5	öla	öla	öla	öla	öla	öla	öla	öla	öla	öla	öla	öla
Kurşun ($\mu\text{g Pb/L}$)	50	2.32	1.46	1.44	öla	öla	öla	1.8	öla	1.37	öla	1.39	öla
Arsenik ($\mu\text{g As/L}$)	50	öla	öla	öla	öla	öla	öla	öla	öla	öla	öla	öla	öla
Bakır ($\mu\text{g Cu/L}$)	100	29.42	26.09	30.62	7.81	11.23	2.03	16.04	12.94	15.46	9.72	12.7	32.31
Krom ($\mu\text{g Cr/L}$)	50	öla	öla	öla	öla	öla	öla	öla	öla	öla	öla	öla	öla
Kobalt ($\mu\text{g Co/L}$)		öla	öla	öla	öla	15.44	öla	14.40	öla	11.04	öla	öla	öla
Nikel ($\mu\text{g Ni/L}$)	50	84.07	2.56	102.36	6.01	176.52	20.39	161.8	7.65	130.89	7.61	112.64	11.93
Çinko ($\mu\text{g Zn/L}$)	100	47.5	41.14	31.21	10.94	21.86	5.59	7.87	21.05	15.46	10.91	26.69	37.18
Florür ($\mu\text{g F}^-/\text{L}$)	1500	52	0.01	0.072	0.01	0.117	0.24	0.067	0.015	0.064	0.01	0.064	0.014
Demir ($\mu\text{g Fe/L}$)	50	48.67	111.97	51.72	37.57	69.0	85.0	92.0	96	86.12	232.0	109.0	233.0
Mangan ($\mu\text{g Mn/L}$)	20	14.30	18.00	18.00	12.00	10.0	7.0	18.0	17.0	31.37	21.24	0.016	0.049
Bor ($\mu\text{g B/L}$)	1000	23.05	21.15	13.39	27.95	28.12	24.9	43.84	36.35	25.69	27.21	21.36	53.96
Selenyum ($\mu\text{g Se/L}$)	10	öla	öla	öla	öla	öla	öla	öla	öla	öla	öla	öla	öla
Baryum ($\mu\text{g Ba/L}$)	100	41.18	29.36	14.95	13.66	12.57	11.83	39.58	27.27	29.54	30.5	22.52	32.17
Alüminyum ($\mu\text{g Al/L}$)	50	21.54	38.91	48.88	1.88	14.64	5.58	130.63	45.23	29.15	1.25	155.89	175.99

öla: Element için ölçme sonucunun, ölçme cihazının tayin sınırlarından küçük olduğunu ifade eder. YSKY: Yerüstü su kalitesi yönetmeliği;2023 [34].

Tablo 8. İz elementlerin yağışlı dönemdeki konsantrasyonlarında gözlenen değişimler

Table 8. The variations observed in the concentrations of trace elements during the rainy season

	YYM	KM	CM	THK	SD	BG
Alüminyum (mg Al/L)	↑ top	↓	↓	↓	↓	↑
Arsenik ($\mu\text{g As/L}$)	-	-	-	-	-	-
Bakır ($\mu\text{g Cu/L}$)	↓	↓	↓	↓	↓	↑
Baryum ($\mu\text{g Ba/L}$)	↓	↓	↓	↓	↑	↑
Bor ($\mu\text{g B/L}$)	↓	↑	↓	↓	↑	↑
Civa ($\mu\text{g Hg/L}$)	-	-	-	-	-	-
Çinko ($\mu\text{g Zn/L}$)	↓	↓	↓	↑	↓	↑
Demir ($\mu\text{g Fe/L}$)	↑	↓	↑	↑	↑	↑
Florür ($\mu\text{g F}^-/\text{L}$)	↓	↓	↓	↓	↓	↓
Kadmiyum ($\mu\text{g Cd/L}$)	-	-	-	-	-	-
Kobalt ($\mu\text{g Co/L}$)	-	-	↓	↓	↓	↓
Krom (toplam) ($\mu\text{g Cr/L}$)	-	-	-	-	-	-
Kurşun ($\mu\text{g Pb/L}$)	↓	↓	-	-	↓	↓
Mangan ($\mu\text{g Mn/L}$)	↑	↓	↓	↓	↓	↑
Nikel ($\mu\text{g Ni/L}$)	↓	↓	↓	↓	↓	↓
Selenyum ($\mu\text{g Se/L}$)	-	-	-	-	-	-
Toplam koliform (Membran)	↑	↓	↓	-	↓	↓

↑: Yağışlı dönemde artış, ↓: Yağışlı dönemde azalış,-: konsantrasyonda değişim yok

3.4 Suların Kalite Kriterleri Açısından Değerlendirilmesi

Atasu Baraj Gölü havzasında yan kollardan ve ana akarsudan alınan örneklerin analiz sonuçları Yerüstü Su Kalitesi yönetmeliği 2023'e göre değerlendirilmiştir. Bu değerlendirmelere göre suların genel şartlar ve oksijenlendirme parametreleri (DO ve KOI) açısından I. Sınıf Su Kalitesinde olduğu belirlenmiştir. Nutrient (Besin Elementleri) Parametrelerinden NH_4^+ değerine göre Baraj gölü dışındaki sular I. sınıfı, Baraj gölü yaz mevsiminde II. sınıfı su tipindedir. NO_2^- ve NO_3^- ve toplam fosfor açısından ise II. ve III. sınıfı su tipindedir. İz elementler ve inorganik kirlilik parametreleri açısından incelenliğinde sularda arsenik, selenyum, kadmiyum, civa, krom gibi elementlerin ölçüm sınırı altında konsantrasyonlarda olduğu belirlenmiştir. Bu parametreler açısından sular I. sınıfıdır. Ancak Cu açısından YYM ve KM suları II. sınıfı, Ni açısından tüm sular III. sınıfı, diğer iz elementler açısından ise tüm sular I. sınıfıdır.

Bakteriyolojik analizler açısından değerlendirildiğinde suların toplam koliform bakteri değerleri ölçüm tarihlerine göre değişiklik göstermektedir. Ekim, Aralık ve Şubat aylarında düşük değerler gözlenirken, Temmuz ve Ağustos aylarında tüm sularda yüksek değerler görülmektedir. Toplam koliform bakteri açısından YYM suyu I. sınıf diğer tüm noktalar II sınıfı su kalitesindedir.

3.5 Su Kalitesi İndeksi

Farklı su kalitesi parametrelerinin genel su kalitesi üzerindeki bileşik etkisini yansıtın bir derecelendirme olarak tanımlanan Su Kalitesi indeksinin (WQI) hesaplanması temel amacı, karmaşık su kalitesi verilerini kolayca anlaşılar ve kullanılabılır bilgilere dönüştürmektedir. Bu çalışmada her bir su noktasında 6'şar kez EC, pH, TDS değeri ölçülmüş ve majör iyonlar (Ca , Mg , Na , K , HCO_3^- , Cl^- ve SO_4^{2-} , NO_3^- , F^- ile NO_2^- , NH_4^+ ve Toplam koliform bakteri analiz edilmiştir. Ayrıca her bir su noktasında Al, B, Fe, Mn, Cu, Zn, Ba, As, Cd, Cr, Hg, Ni, Pb ve Se analiz edilmiştir. CWQI hesaplamasında her bir su noktası için toplam parametre sayısı 28, toplam test sayısı 64'tür. Limit aşan parametre sayısı 4-5 ve limit aşan toplam parametre sayısı 10-16 arasında değişmektedir. Genel olarak havzada limit değeri aşan parametreler NO_2^- , NH_4^+ , Ni, Fe, toplam koliform bakteridir. Havzada 6 nokta için ayrı ayrı hesaplanan CCME WQI değeri 95.45 ile 96.56 arasında değişir. (Tablo 9).

Tablo 9. Atasu Barajı Havzasında hesaplanan su kalitesi değerleri

Table 9. Water quality values calculated in the Atasu Dam Basin

Örnek No	CCME WQI (Su Kalite Değeri)
YYM (Yüzüncüylü Mezrası)	96.56
KM (Kuşcu Mevkii)	96.49
CM (Cinalı Mevkii)	96.12
THK (Taşhan Köprüsü)	95.58
SD (Şimşirli Derelesi)	95.84
BG (Atasu Baraj Gölü)	95.45

Bu değerlere göre havzanın her noktasında su kalitesi mükemmel olarak derecelendirilmektedir. Havzadaki suların doğal veya bozulmamış seviyelere çok yakın koşullar sergilediği görülmektedir.

4 Sonuçlar

Atasu Baraj Gölü Havzası içerisinde kırsal yerleşimin bulunduğu, kısmen tarımsal faaliyetlerin devam ettiği çoğunluğu ormanlık alandan oluşan bir havzadır. Galyan ve Şimşirli ana iki kol ve bunlara eklenen çok sayıda yan kollar havzayı dren etmektedir. Havzanın genelinde su kalitesini ortaya koymak amacıyla da ana kolları besleyen yan kollardan örnekler alınarak varsa kirlilik taşıyan kollar tespit edilmeye çalışılmıştır.

Kıtaçi Yerüstü Su Kaynaklarının Sınıflarına Göre Kalite Kriterleri'nde yer alan parametrelerden siyanür, sülfür, serbest klor gibi birkaç parametre dışındaki parametreler açısından değerlendirildiğinde suların birçok parametre açısından I. sınıf, azot ve fosfor bileşenleri bakımından II ve III. sınıf, iz elementlerden Cu ve Ni dışındaki parametreler açısından I. sınıf olduğu belirlenmiştir. Ayrıca iz element konsantrasyonlarının yağışlı ve kurak dönemde farklılık gösterdiği belirlenmiştir. Bu farklılıklar birçok elementte yağışlı dönemde azalma yönünde iken demirde artma eğilimindedir.

Bu çalışma sonucunda bir yıl süre ile analiz edilen parametreler açısından Atasu Barajı Havzasında yüzey suyu kalitesinin genel olarak iyi durumda olduğu, ağır metal içeriklerinin yan kolla değişim gösterdiği, Cu ve Ni dışındaki iz elementlerin I. sınıf su kalitesi konsantrasyonlarında olduğu belirlenmiştir. İz element konsantrasyonlarının yağışlı mevsimde genel olarak yan kolla azaldığı ancak Atasu baraj Gölünde arttığı görülmüştür. Nitrat konsantrasyonun su kalite kriterlerinde verilen değeri aşmadığı ancak daha önceki çalışmalarında da belirtildiği gibi Şimşirli (Kuştal) Deresinde Galyan koluna göre daha yüksek olduğu belirlenmiştir.

Ağır metal konsantrasyonları kolla düşük olsa bile baraj gölünde birikme eğilimindedir. İçme suyu havzası olan bu havzada özellikle ağır metal içeriklerinin takip edilmesinin ve gereken önlemlerin alınmasının yararlı olacağı düşünülmektedir.

5 Conclusions

Atasu Dam Lake Basin is a basin consisting mostly of forested areas with rural settlements and partially agricultural activities. The basin is drained by two main tributaries, Kalyan and Şimşirli, and many side tributaries added to them. In order to reveal the water quality throughout the basin, samples were taken from the tributaries feeding the main tributaries and the polluted tributaries, if any, were tried to be identified.

When evaluated in terms of parameters other than a few parameters such as cyanide, sulfur, free chlorine among the parameters included in the Quality Criteria According to the Classes of Continental Surface Water Resources, it was determined that the waters were class I in terms of many parameters, class II and III in terms of nitrogen and phosphorus components, and class I in terms of parameters other than Cu and Ni among trace elements. In addition, it was determined that trace element concentrations differed in wet and dry periods. While these differences are in the direction of decrease in many elements in the wet period, they tend to increase in iron.

As a result of this study, it was determined that the surface water quality in the Atasu Dam Basin is generally good in terms of the parameters analyzed for one year, heavy metal contents vary in the tributaries, and trace elements except Cu and Ni are in class I water quality concentrations. It was observed that trace element concentrations generally decreased in the

tributaries during the rainy season, but increased in Atasu Dam reservoir. Nitrate concentration did not exceed the value given in the water quality criteria, but as stated in previous studies, it was higher in Şimşirli (Kuştal) Stream than in Galyan tributary.

Heavy metal concentrations tend to accumulate in the reservoir even if they are low in the tributaries. It is thought that it would be useful to monitor especially heavy metal contents and take necessary precautions in this basin, which is a drinking water basin.

6 Teşekkür

7 Yazar katkı beyanı

Geçerleştirilen çalışmada Yazar 1 fikrin oluşması, tasarımının yapılması, literatür taraması ve sonuçların yorumlanması başlıklarda; Yazar 2 elde edilen sonuçların değerlendirilmesi, yazım denetimi ve içeriğ açısından makalenin kontrol edilmesi başlıklarda katkı sunmuşlardır.

8 Etik kurul onayı ve çıkar çatışması beyanı

Hazırlanan makalede etik kurul izni alınmasına gerek yoktur. Hazırlanan makalede herhangi bir kişi/kurum ile çıkar çatışması bulunmamaktadır.

9 Kaynaklar

- [1] Magesh NS, Krishnakumar S, Chandrasekar N, Soundranayagam JP. Groundwater quality assessment using WQI and GIS techniques, Dindigul district, Tamil Nadu, India. *Arabian Journal of Geosciences*, 6, 4179–4189. 2013.
- [2] Uddin MG, Moniruzzaman M, Quader MA, Hasan MA. Spatial variability in the distribution of trace metals in groundwater around the Rooppur nuclear power plant in Ishwardi, Bangladesh. *Groundwater for Sustainable Development*, 7, 220-231, 2018
- [3] Lobato TC, Hauser-Davis RA, Oliveira TF, Silveira AM, Silva HAN, Tavares MRM, Saraiva ACF. Construction of a novel water quality index and quality indicator for reservoir water quality evaluation: A case study in the Amazon region. *Journal of Hydrology*, 522, 674–683, 2015.
- [4] Rainbow PS. Biomonitoring of Heavy Metal Availability in the Marine Environment. *Marine Pollution Bulletin*, 31 (4-12), 183-192, 1995.
- [5] Sanchez E, Colmenarejo MF, Vicente J, Rubio A, García MG, Travieso L, Borja R. Use of the water quality index and dissolved oxygen deficit as simple indicators of watersheds pollution. *Ecological Indicator*, 7, 315–328, 2007.
- [6] Uslu O, Türkman A. *Su Kirliliği ve Kontrolü*, Ankara, Türkiye, T.C. Başbakanlık Çevre Genel Müdürlüğü Yayınları Eğitim Dizisi, 1987.
- [7] Almeida C, Gonzalez SO, Mallea M, Gonzalez P. A recreational water quality index using chemical, physical and microbiological parameters. *Environmental Science and Pollution Research*, 19, 3400–3411, 2012.
- [8] Sedeño-Díaz JE, Lopez-Lopez E. Water Quality in the Rio Lerma, Mexico: An Overview of the Last Quarter of the Twentieth Century, *Water Resources Management*, 21 (10), 1797-1812, 2007.

- [9] Jindal R, Sharma C. Studies on water quality of Sutlej River around Ludhiana with reference to physicochemical parameters, *Environmental Monitoring and Assessment* 174, 417- 425, 2011.
- [10] Venkatesharaju K, Ravikumar P, Somashekar RK, Prakash KL. Physico chemical and Bacteriological Investigation on the river Cauvery of Kollegal Stretch in Karnataka, *Journal of Science Engineering and Technology*, 6 (1), 50-59, 2010.
- [11] Uddin MG, Nash S, Olbert AI. A review of water quality index models and their use for assessing surface water quality, *Ecological Indicators* 122, 107218, 2021.
- [12] Sharifi M. *Assessment of surface Water Quality by an index system in Anzali basin*.The Hydrological Basis for Water Resources Management, Editors: Shamir U, Jiaqi C. Proceedings of the Beijing Symposium, 163-171, Wallingford, Oxfordshire England, IAHS Publications No.197, 1990.
- [13] Abbasi SA. Water Quality Indices. State of the Art Report, National Institute of Hydrology, Scientific Contribution No. INCOH/SAR-25/2002, Roorkee: INCOH, 73. 2002.
- [14] Lumb AA, Halliwell D, Sharma T. Application of CCME water quality index to monitor water quality: A case of the Mackenzie River Basin, Canada. *Environmental Monitoring and Assessment*, 113, 411-429. 2006.
- [15] Kannel PR, Lee S, Lee YS, Kanel SR, Khan SP. Application of water quality indices and dissolved oxygen as indicators for river water classification and urban impact assessment, *Environmental Monitoring and Assessment*, 132, 93-110, 2007.
- [16] Khan AA, Paterson R, Khan H. "Modification and Application of the CCME WQI for the Communication of Drinking Water Quality Data in Newfoundland and Labrador" Presented at 38th, Central Symposium on Water Quality Research, Canadian Association on Water Quality, Burlington, Canada, 10-11 February 2003.
- [17] Sargaonkar A, Deshpande V. Development of an Overall Index of Pollution for Surface Water Based on a General Classification Scheme in Indian Context. *Environmental Monitoring and Assessment*, 89, 43-67, 2003.
- [18] Shuhaimi-Othman M, Lim EC, Mushrifah I. Water Quality Changes in Chini Lake, Pahang, West Malaysia. *Environmental Monitoring and Assessment*. 131, 279-292, 2007.
- [19] Ramakrishnaiah CR, Sadashivaiah C, Ranganna G. Assessment of Water Quality Index for the Groundwater in Tumkur Taluk, Karnataka State, India, *Journal of Chemistry*, 6(2), 523-530. 2009
- [20] Mustapha A, Aris AZ. Application of water quality index method in water quality assessment, *Elixir Pollution*, 33 2264-2267, 2011.
- [21] Akkoyunlu A, Akiner ME. Pollution Evaluation in Streams Using Water Quality Indices: A Case Study from Turkey's Sapancı Lake Basin, *Ecological Indicators*, 18, 501-511, 2012.
- [22] Effendi H, Romanto-Wardiatno Y. Water Quality Status of Ciambulawung River, Banten Province, Based on Pollution Index and NSF-WQI. *Procedia Environmental Sciences*, 24, 228-237, 2015.
- [23] Şener Ş, Şener E, Davraz A. Evaluation of water quality using water quality index (WQI) method and GIS in Aksu River (SW-Turkey), *Science of the Total Environment* 584-585, 131-144, 2017.
- [24] Tunç Dede Ö, Sezer M. Aksu çayı su kalitesinin belirlenmesinde Kanada su kalitesi indeks (CWQI) modelinin uygulanması, *Journal of the Faculty of Engineering and Architecture of Gazi University* 32(3), 909-917, 2017.
- [25] Ates N, Dadaser-Celik F, Kaplan-Bekaroglu SS, Ergin B. "Kayseri'de İçme Suyu Kalitesinin Mekânsal ve Zamansal Değişimi", *International Agriculture, Environment and Health Congress* Aydin, Türkiye, 26-28 October 2018.
- [26] Bilgin A. Evaluation of surface water quality by using Canadian Council of Ministers of the Environment Water Quality Index (CCME WQI) method and discriminant analysis method: a case study Coruh River Basin. *Environmental Monitoring and Assessment*, 190, 554, 2018.
- [27] Sukmawati NMH, Rusni NW. Assessment of Water Quality Index of Beratan Lake Using NSF WQI Indicator, *Warmadewa Medical Journal*, 4(2), 39-43, 2019.
- [28] Zaoui L. Assessment of water quality bounamoussa river in el tarf region using water quality index (Algeria), *International Physical Medicine & Rehabilitation Journal*, 4(6), 299-302, 2020.
- [29] Hui T, Xiujuan L, Qifa S, Qiang L, Zhuang K, Yan G. Evaluation of Drinking Water Quality Using the Water Quality Index (WQI), the Synthetic Pollution Index (SPI) and Geospatial Tools in Lianhuashan District, China, *Polish Journal of Environmental Studies*, 30(1), 141-153. 2021.
- [30] Akyıldız Y. Galyan Havzası Akarsularının Bazı Parametrelerinin İncelenmesi Karadeniz Teknik Üniversitesi, Fen Bilimleri Enstitüsü, Yüksek Lisans tezi, Trabzon, Türkiye, 2004.
- [31] Bulut VN. Trabzon (Maçka) Kalyan Akarsuyunun Su Kalitesinin Araştırılması ve Modellemesi, Yüksek Lisans Tezi, Karadeniz Teknik Üniversitesi, Fen Bilimleri Enstitüsü, Trabzon, Türkiye, 2005.
- [32] Uzun H. Trabzon İli Akarsalarının Su Kalite Düzeylerinin Araştırılması Yüksek Lisans Tezi, Karadeniz Teknik Üniversitesi, Trabzon, Türkiye, 2006.
- [33] Gültekin F, Fırat Ersoy A, Hatipoğlu E, Celep S. Trabzon İli Akarsalarının Yağışlı Dönem Su Kalitesi Parametrelerinin Belirlenmesi, *Ekoloji*, 21(82), 77-88, 2012.
- [34] YSKY, 2023. Yerüstü Su Kalitesi Yönetmeliği, 30.11.2012 Tarih ve 28483 sayılı Resmi Gazete.
- [35] TSE, "İnsani Tüketim Amaçlı Sular, Türk İçme Suyu Standartları" Türk Standartları Enstitüsü, Ankara, Türkiye, TS 266, 2005.
- [36] WHO, "Guidelines for Drinking-Water Quality". World Health Organization, Geneva, Switzerland, 2008.
- [37] Thornthwaite CW. An Approach toward a Rational Classification of Climate. *Geographical Review*, 38, 55-94, 1948.
- [38] TS EN ISO 5667-3, "Su kalitesi-Numune Alma" Bölüm 3: Su numunelerinin korunması ve elleçlenmesi, Türk Standartları Enstitüsü, Ankara, Türkiye, 2018.
- [39] Haseen K, Amir AK, Sarah H. The Canadian water quality index: A tool for water resource management, *MTERM International Conference*, Ait, Thailand, 06-10 June 2005,
- [40] Horton RK. An index number system for rating water quality. *Journal of Water Pollution Control Federation*, 37(3), 300-306, 1965.
- [41] Brown RM, McClelland NI, Deininger RA, Tozer RG. "A Water Quality Index Do We Dare" Water Sewage Works, 117(10), 339-343, 1970.

- [42] Hebert S. *Développement d'un indice de qualité bactériologique et physico-chimique pour les rivières du Québec*. Québec, ministère de l'Environnement et de la Faune, Direction des écosystèmes aquatiques, envirodoc No EN/970102, 20. 1997.
- [43] CCME Canadian Water Quality Index 1.0. User's Manual. Canadian Water Quality Guidelines for the Protection of Aquatic Life. Winnipeg, Canada, 2005.
- [44] Ağar Ü. Demirözü ve Köse Bölgesinin Jeolojisi. Doktora Tezi, Karadeniz Teknik Üniversitesi, Fen Bilimleri Enstitüsü, Trabzon, Türkiye, 1977.
- [45] Pelin S. Alucra (Giresun) Güneydoğu Yöresinin Petrol Olanakları Bakımından Jeolojik İncelenmesi, Trabzon, Türkiye, K.T.Ü. Yayınları, 1977.
- [46] Güven İH. Doğu Karadeniz Bölgesi'nin 1/250000 ölçekli jeolojik ve metalojenik haritası, MTA Genel Müdürlüğü, Ankara, Türkiye, 1993.
- [47] Güven İH. 1/100000 Ölçekli Açınsama Nitelikli Türkiye Jeoloji Haritaları, Trabzon-C29 ve D29 paftaları. MTA Genel Müdürlüğü, Ankara, Türkiye, 1998.
- [48]] IAH (International Association of Hydrogeologists) Map of mineral and thermal water of Europe. Scale 1:500,000. International Association of Hydrogeologists, United Kingdom, 1979.
- [49] Şahinci A. *Doğal suların jeokimyası*. İzmir, Türkiye, Reform Matbaası, 1991.
- [50] Chery L, Bourbier J. Le phosphore dans les eaux souterraines de France. Etat des connaissances. Année 1. Rapport BRGM/RP, France, 40857, 2000.
- [51] Hem JD. *Study and interpretation of the chemical characteristics of natural water*. US Geological Survey, USA, United States Government Printing Office, 1985.
- [52] Freeze R A, Cherry J A. *Groundwater*, Englewood Cliffs, NJ, USA, Prentice-Hall, 1979.
- [53] Akgiray Ö. "İçme suyu ve su aritimi. Suyumuzun Geleceği ve Türkiye Su Politikaları" Editörler: Şen Z, Sırdaş S. 22 Mart Dünya Su Günü Paneli, 62-75, İstanbul, Türkiye, 2003.
- [54] Çobanoğlu Z. *Genel Çevre Sağlığı Bilgisi*, Ankara, Türkiye, Hatiboğlu Yayınları, 1995.
- [55] Alloway BJ, Ayres DC. *Chemical Principles of Environmental Pollution*. London, England, Blackie Academic and Professional an imprint of Chapman and Hall, 1997.
- [56] Callender E. *Heavy Metals in the Environment-Historical Trends*, Editor: B.S. Lollar, Environmental Geochemistry, Treatise on Geochemistry, 67-105, Oxford, England, Elsevier-Pergamon, 2003.
- [57] Bilici Başkan M, Pala A. İçme Sularında Arsenik Kirliliği: Ülkemiz Açısından Bir Değerlendirme, *Pamukkale Üniversitesi Mühendislik Bilimleri Dergisi*, 15 (1), 69-79, 2009.

Düzenlenmemis Sürüm - Uncorrected